



Langtidsholdbarhed af beton i marint miljø:  
Undersøgelse af danske broer

1. Prøveudtagning
2. Chloridindtrængning
3. Mikroskopi og SEM-EDX



# Undersøgelsesfartøj



# Kerneudboring onder vand



Prøve-numre	Bro	Byggeår	Kote [m]	Udtagnings-dato	Ekspone-ringstid	Bindertype
V1-V4	Vejlefjordbroen	1975-1980	-1,0	18-01-2012	Ca. 34 år	Slaggecement (Aquafirm) fra Tyskland
A1-A4	Alssundbroen	1978-1981	-1,5	17-01-2012	Ca. 31 år	A/L/S-cement fra AaP
F1-F4	Farøbroen	1980-1985	-1,5	03-02-2012	Ca. 30 år	Lavalkali-cement fra AaP + 23% FA fra Danaske
<b>28J-30J</b>	Øresundsbroen	1993-2000	-2,0	<b>08-10-2010</b>	Ca. 12 år	Lavalkali-cement fra Cementa + 4% MS fra Elkem



Kerner fra Vejlefjordbroen



Kerner fra Alssundbroen



Kerner fra Farøbroen

# Chloridanalyser

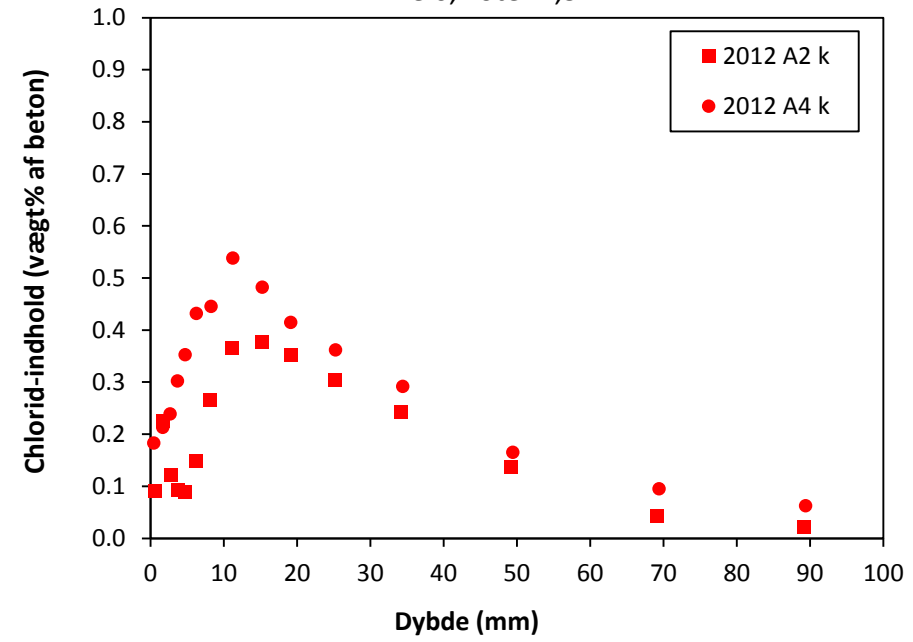


# Allsundbroen - chloridprofiler

## Chlorid-indhold (korrigeret)

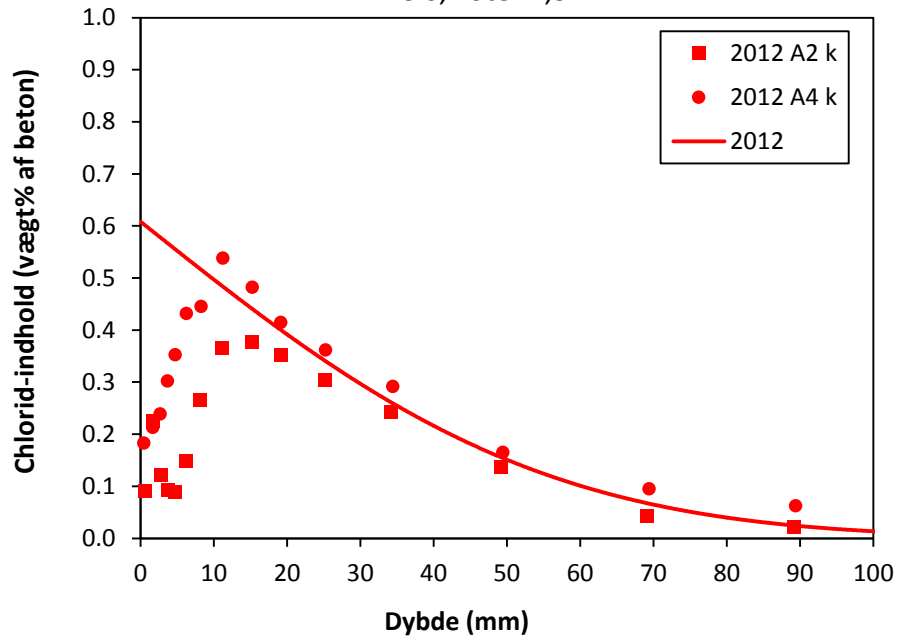
Allsundbroen

Pille 6, kote -1,5



## Chlorid-indhold (korrigeret)

Allsundbroen  
Pille 6, kote -1,5



$$C(x, t) = C_s - (C_s - C_i) \cdot \operatorname{erf}\left(\frac{x}{\sqrt{4 \cdot D_a \cdot t}}\right)$$

$$K_{0,05} = 2\sqrt{D_a} \cdot \operatorname{erf}^{-1}\left(\frac{C_s - 0,05}{C_s - C_i}\right)$$

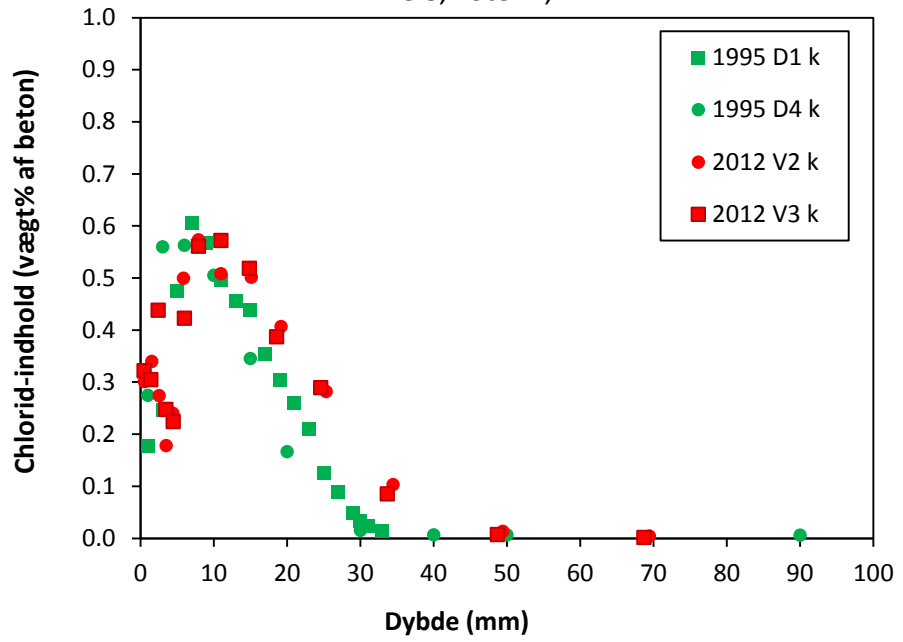
År	2012	Enhed
Exp.tid	31	år
$D_a$	0,95	$\times 10^{-12} \text{ m}^2/\text{s}$
$C_s$	0,608	vægt% Cl af BE
$C_i$	0,001	vægt% Cl af BE
$K_{0,05}$	13,5	$\text{mm}/\text{år}^{1/2}$

# Vejlefjordbroen - chloridprofiler

## Chlorid-indhold (korrigeret)

Vejlefjordbroen

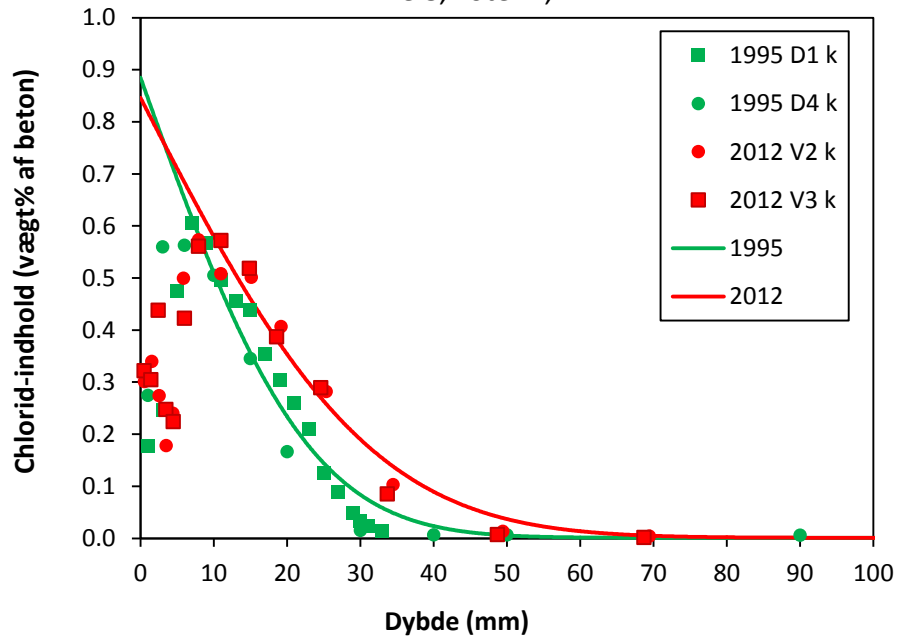
Pille 8, kote -1,1



## Chlorid-indhold (korrigeret)

Vejlefjordbroen

Pille 8, kote -1,1



$$C(x, t) = C_s - (C_s - C_i) \cdot \operatorname{erf}\left(\frac{x}{\sqrt{4 \cdot D_a \cdot t}}\right)$$

$$K_{0,05} = 2\sqrt{D_a} \cdot \operatorname{erf}^{-1}\left(\frac{C_s - 0,05}{C_s - C_i}\right)$$

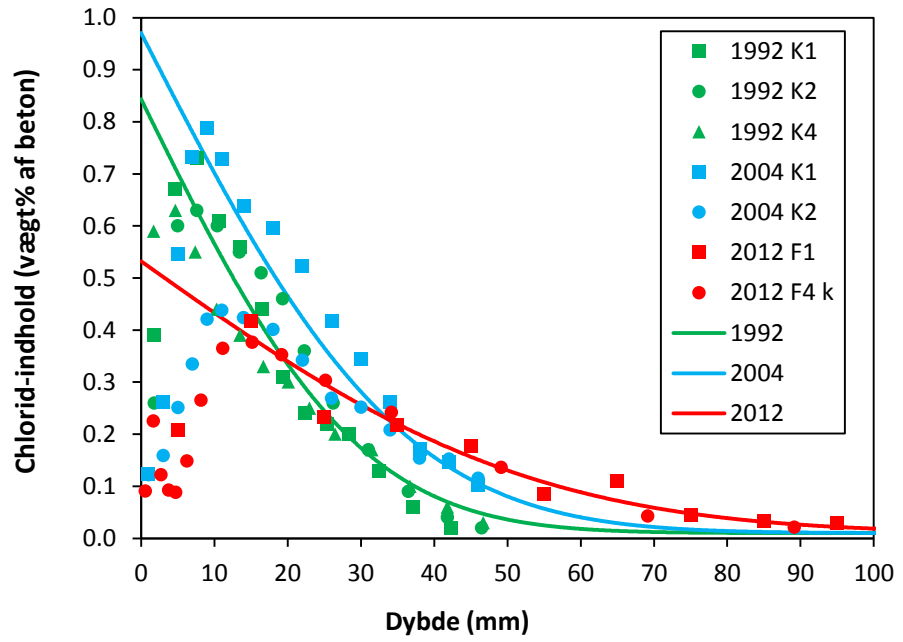
År	1995	2012	Enhed
Exp.tid	17	34	år
$D_a$	0,30	0,28	$\times 10^{-12} \text{ m}^2/\text{s}$
$C_s$	0,885	0,846	vægt% Cl af BE
$C_i$	0,001	0,001	vægt% Cl af BE
$K_{0,05}$	8,3	8,0	$\text{mm}/\text{år}^{1/2}$



## Chlorid-indhold

Farøbroerne

Pille SF06 (1992&2004) og SF07 (2012), kote -1,3



$$C(x, t) = C_s - (C_s - C_i) \cdot \operatorname{erf}\left(\frac{x}{\sqrt{4 \cdot D_a \cdot t}}\right)$$

$$K_{0,05} = 2\sqrt{D_a} \cdot \operatorname{erf}^{-1}\left(\frac{C_s - 0,05}{C_s - C_i}\right)$$

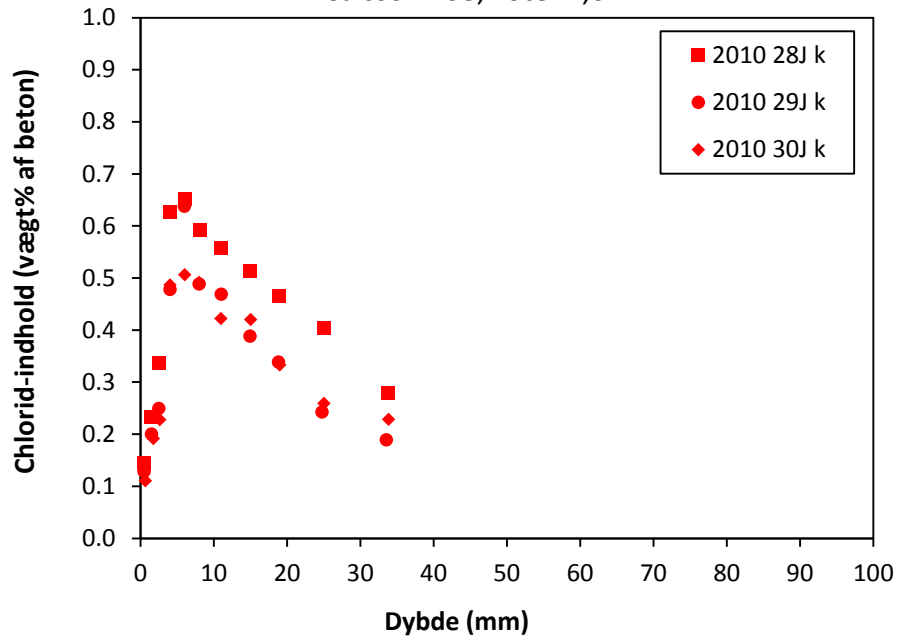
	År 1992	2004	2012	Enhed
Exp.tid	10,7	22,4	30	år
$D_a$	0,80	0,55	0,92	$\times 10^{-12}$ m <sup>2</sup> /s
$C_s$	0,844	0,971	0,532	vægt% Cl af BE
$C_i$	0,010	0,010	0,010	vægt% Cl af BE
$K_{0,05}$	14,0	12,0	13,5	mm/år <sup>1/2</sup>

# Øresundsbroen - chloridprofiler

## Chlorid-indhold (korrigeret)

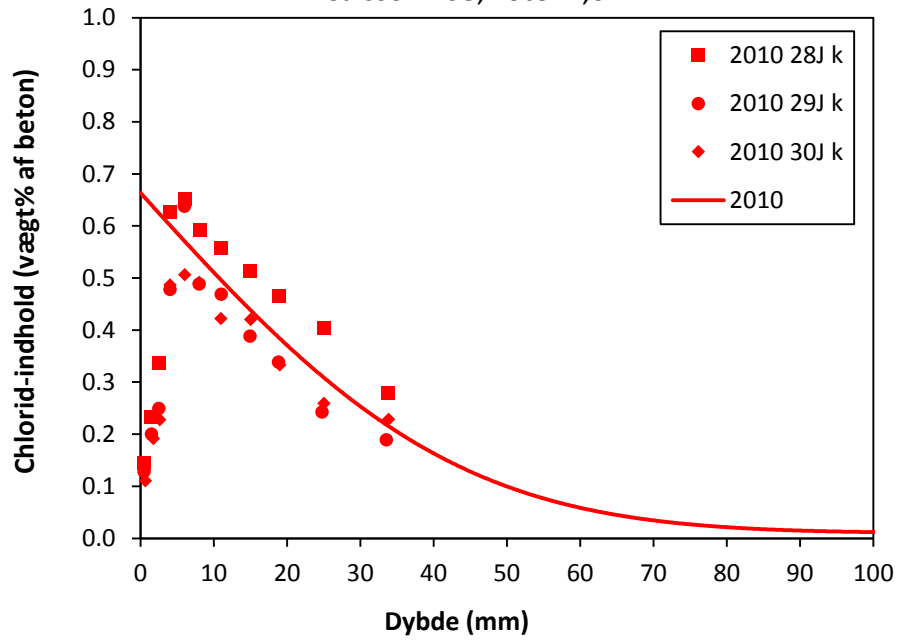
Øresundsbroen

Caisson E08, kote -2,0



# Øresundsbroen - chloridindtrængningsparametre

Chlorid-indhold (korrigeret)  
Øresundsbroen  
Caisson E08, kote -2,0



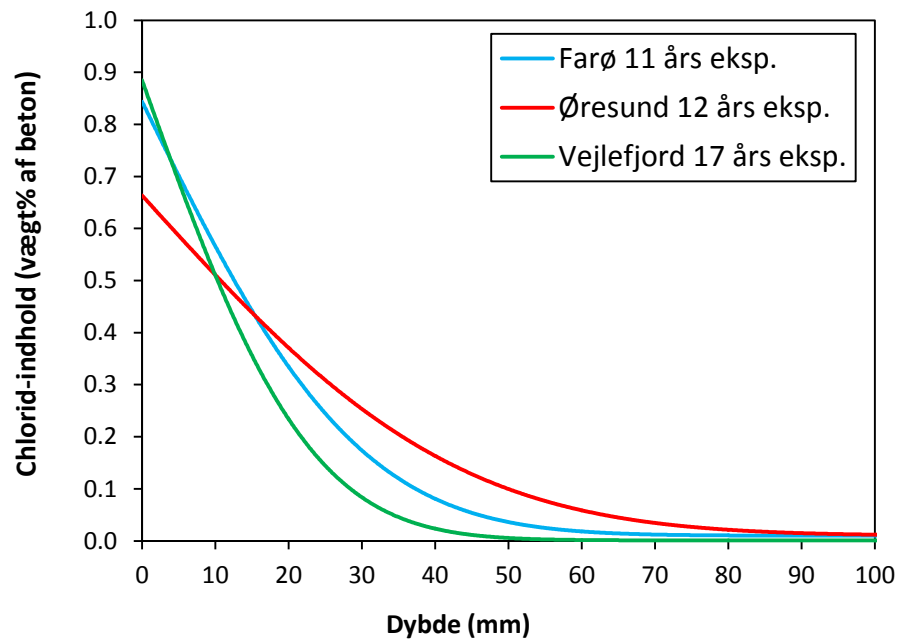
$$C(x, t) = C_s - (C_s - C_i) \cdot \operatorname{erf}\left(\frac{x}{\sqrt{4 \cdot D_a \cdot t}}\right)$$

$$K_{0,05} = 2\sqrt{D_a} \cdot \operatorname{erf}^{-1}\left(\frac{C_s - 0,05}{C_s - C_i}\right)$$

År	2010	Enhed
Exp.tid	12	år
$D_a$	1,50	$\times 10^{-12} \text{ m}^2/\text{s}$
$C_s$	0,663	vægt% Cl af BE
$C_i$	0,010	vægt% Cl af BE
$K_{0,05}$	18,2	$\text{mm}/\text{år}^{1/2}$

# Chloridindtrængning efter 11-17 år – 3 broer

**Chloridprofiler**  
3 broer, kote -1 til -2



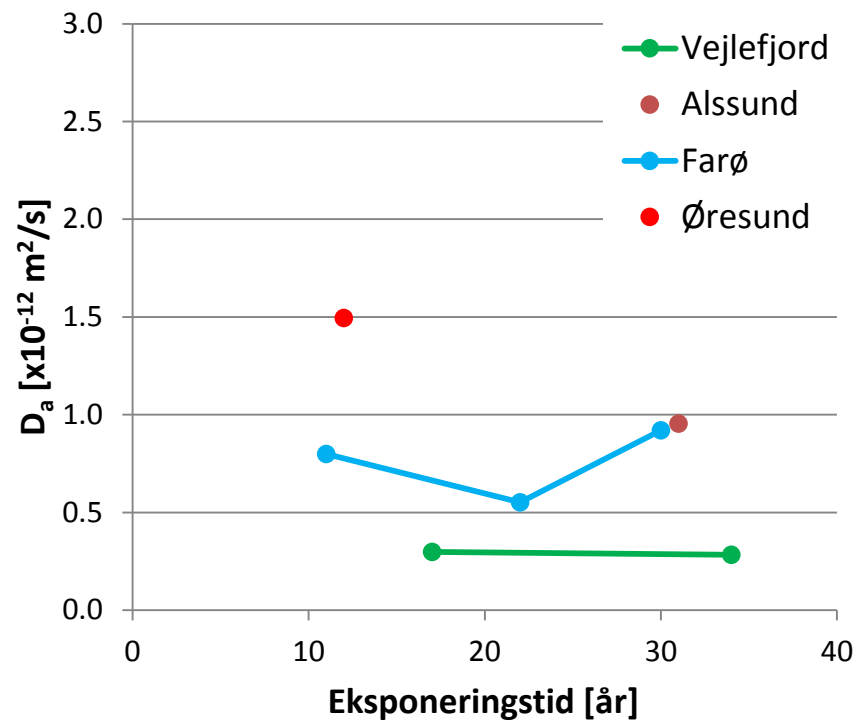
$$C(x, t) = C_s - (C_s - C_i) \cdot \operatorname{erf}\left(\frac{x}{\sqrt{4 \cdot D_a \cdot t}}\right)$$

$$K_{0,05} = 2\sqrt{D_a} \cdot \operatorname{erf}^{-1}\left(\frac{C_s - 0,05}{C_s - C_i}\right)$$

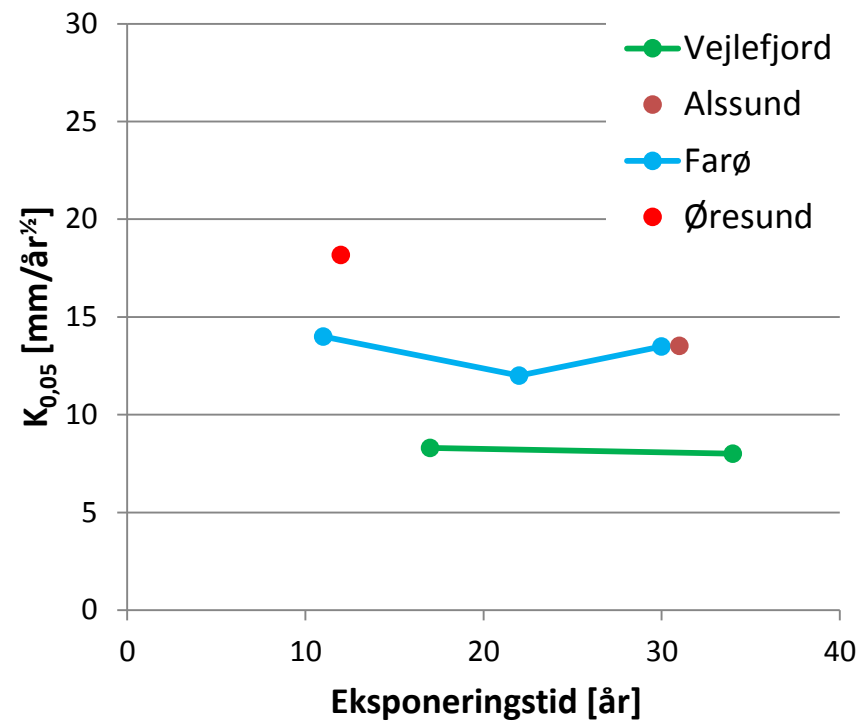
	Farø	Øresund	Vejle fjord	Enhed
Exp.tid	11	12	17	år
$D_a$	0,80	1,50	0,30	$\times 10^{-12} \text{ m}^2/\text{s}$
$C_s$	0,844	0,663	0,885	vægt% Cl af BE
$C_i$	0,010	0,010	0,001	vægt% Cl af BE
$K_{0,05}$	14,0	18,2	8,3	$\text{mm}/\text{år}^{\frac{1}{2}}$

# Chloridindtrængningsparametre – 4 broer

## Diffusionskoefficienten $D_a$



## Indtrængningsparameteren $K_{0,05}$



$$C(x, t) = C_s - (C_s - C_i) \cdot \operatorname{erf}\left(\frac{x}{\sqrt{4 \cdot D_a \cdot t}}\right)$$

$$K_{0,05} = 2\sqrt{D_a} \cdot \operatorname{erf}^{-1}\left(\frac{C_s - 0,05}{C_s - C_i}\right)$$

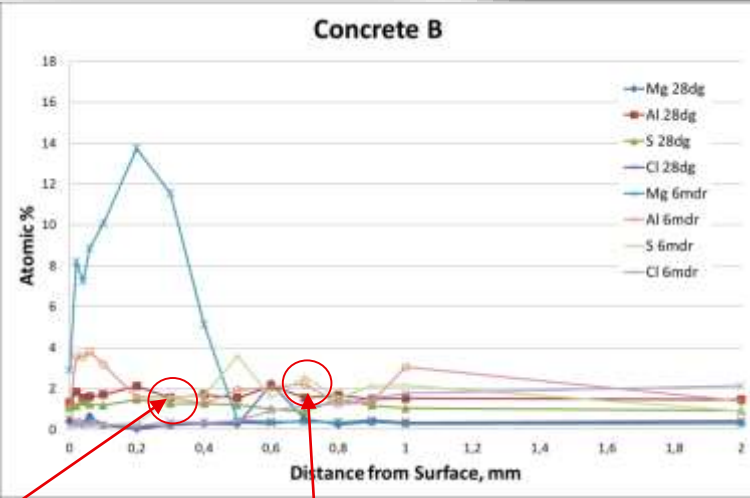
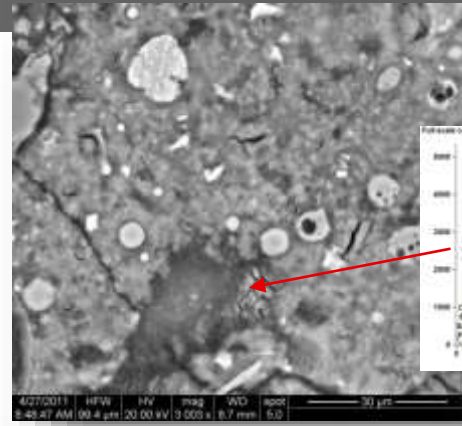
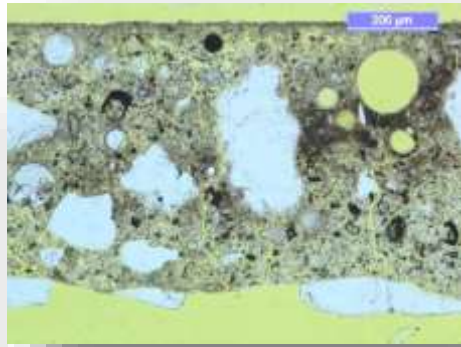
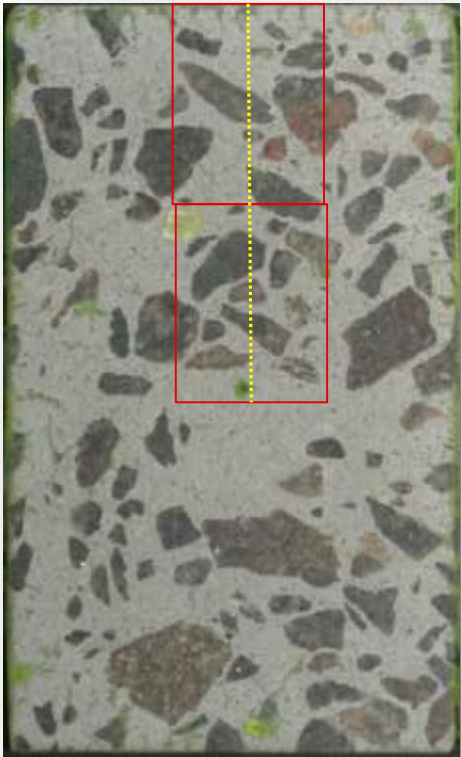
Der ses ikke en tidsafhængig diffusionskoefficient som f.eks.

$$D_a(t) = D_{aex} \left(\frac{t_{ex}}{t}\right)^\alpha$$

i de to tilfælde, hvor der efter de første 10 års eksponering er målt til mere en 1 termin



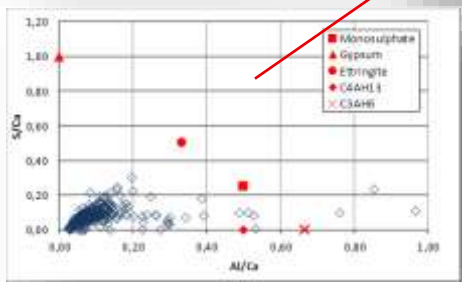
# Mikroskopi og SEM-EDX



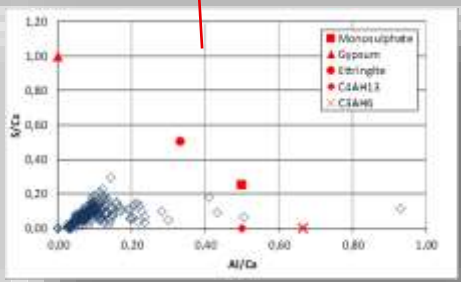
**Macro-analysis:** Crack pattern, homogeneity...

**Micro-analysis - OPM:** Paste porosity, leaching, carbonation, precipitates, micro-cracks ...

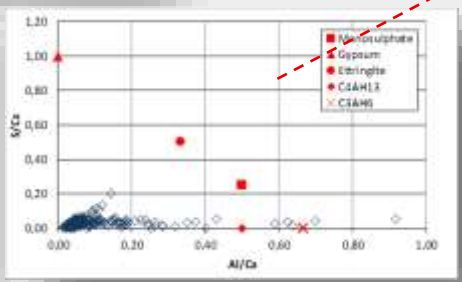
**SEM-EDX:** Structural analysis, chemical trends, phase identification, phase analysis ...



Depth: 0,3mm



Depth: 0,7mm



Depth: 23mm

- Monosulphate
- ▲ Gypsum
- Ettringite
- CSAH1.3
- × CSAH5

## Fremgangsmåde ved SEM-EDX-målingerne

- I hvert dybdeniveau udføres 300 punktanalyser, som er fordelt over 3 analysefelter (fig. 1), som hver består af 10x10 punkter fordelt over et areal svarende til billedarealet ved ca. 1500x forstørrelse (fig. 2).
- De tre felter fordeles på tværs af prøven, og placeres så vidt muligt uden om tilslag og luftporer.

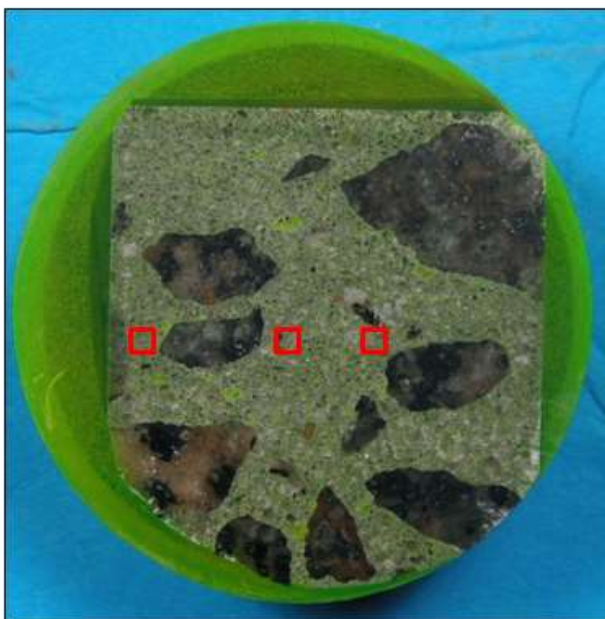


Fig. 1: Eksempel på fordeling af de 3 analysefelter i et bestemt niveau

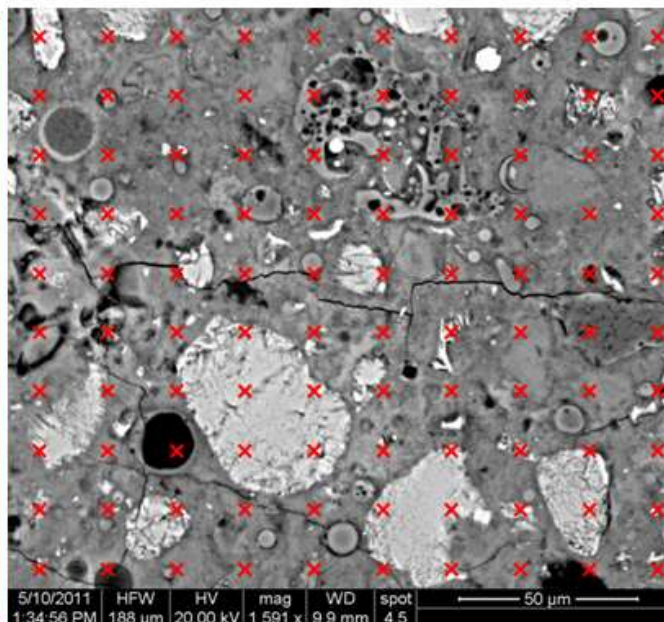


Fig. 2: Eksempel på et analysefelt, som består af 10x10 punkter.

Bro	Bygget	Udtagningsdato	Udtagningssted	Kote/Niveau	Prøvenr.	Cement		Tyndslib		Polerprøve		Chlorid	
						Type	PC	Top	Bund	Top	Bund	Dybde	Mass%
Gl Lillebælt	1929-35	sep-10	Pille 3 vandfyldt celle 17	Gulv	Niras 640	PC	-	-	0-45	100-140	0-30	0,29	
Gl Lillebælt	1929-35	dec-10	Pille 3 vandfyldt celle 19	4	Niras 607	PC	-	-	-	50-100	0-30	0,42	
Gl Lillebælt	1929-35	dec-10	Pille 3 vandfyldt celle 19	4	Niras 608	PC	-	-	-	40-75	0-30	0,40	
Gl Lillebælt	1929-35	dec-10	Pille 3 vandfyldt celle 18	4	Niras 626	PC	-	-	0-45	-	0-30	0,35	
Gl Lillebælt	1929-35	dec-10	Pille 3 vandfyldt celle 18	4	Niras 627	PC	-	-	0-45	45-90	0-30	0,41	
Gl Lillebælt	1929-35	dec-10	Pille 3 vandfyldt celle 18	4	Niras 628	PC	-	-	0-45	-	0-30	0,41	
Gl Lillebælt	1929-35	dec-10	Pille 3 vandfyldt celle 18	4	Niras 629	PC	-	-	-	30-75	0-30	0,41	
Vejlefjord	1975-80	okt-96	Pille 8, sydside	+35	Niras 681-1	PC	x	x	-	-			
Vejlefjord	1975-80	okt-96	Pille 8, sydside	-149	Niras 681-3	Slagge	x	x	-	-			
Vejlefjord	1975-80	okt-96	Pille 8, sydside	-265	Niras 681-4	Slagge	x	x	-	-			
Vejlefjord	1975-80	dec-95	Pille 13, vestside	+1,3m	Niras 660-1 (4)	Slagge	x	x	-	-			
Vejlefjord	1975-80	dec-95	Pille 13, vestside	+1,4m	Niras 660-2 (15)	Slagge	x	x	-	-			
Gl Lillebælt	1929-35	okt-11	Pille 4, vandfyldt celle 20-22	4V_05	LB-1	PC	-	-			0-200		
Gl Lillebælt	1929-35	okt-11	Pille 4, vandfyldt celle 17-19	4V_06	LB-2	PC	A,B	C	A,B	C	-		
Gl Lillebælt	1929-35	okt-11	Pille 4, tør, celle 18	4T-01	LB-3	PC	A,B	C	A,B	C	-		
Gl Lillebælt	1929-35	okt-11	Pille 4, tør, celle 17	4T-02	LB-4	PC	A	C	A	C	0-200		
Gl Lillebælt	1929-35	okt-11	Pille 4, tør, celle 1-2	4T_03	LB-5	PC	A,B	C	A,B	C	-		
Gl Lillebælt	1929-35	okt-11	Pille 4, tør, celle 3-1	4T_04	LB-6	PC	A	-	A	-	0-200		
Gl Lillebælt	1929-35	okt-11	Pille 4, vandfyldt celle 5	4V_03	LB-7	PC	-	C	-	C	0-200		
Gl Lillebælt	1929-35	okt-11	Pille 4, vandfyldt celle 5	4V_04	LB-8	PC	A,B	C	A,B	C	-		
Gl Lillebælt	1929-35	okt-11	Pille 4, tør	1	LB-9	PC	A	-	A	-	10-12, 20-22, 36-38		
Alssundbroen	1978-81	jan-12	Piller, under vand	-1,5m	A3	PC (LavAlk)	A	-	A,B	-			
Vejlefjordbroen	1975-80	jan-12	Piller, under vand	-1m	V1	Slagge, lav CH	A	-	A,B	-			
Farøbroen	1980-85	feb-12	Piller, under vand	-1,5m	F3	PC (LavAlk)+23%FA	A	-	A,B	-			
Stormstrømsbroen	1933-37	jan-12	Piller, under vand	-7.3 til -7.5	Rambøll 7UV	PC, 1:2:3			0-45				
Stormstrømsbroen	1933-37	jan-12	Piller, under vand	-6.1 til -6.7	Rambøll 12UV V	PC, 1:2:3			0-45				
Stormstrømsbroen	1933-37	jan-12	Piller, under vand	-1.1	Rambøll 33UV top	PC, 1:2:3			0-45				
Øresundsbroen	1998 (juli)	nov-10	Pille, over vand		F16 (7090)	SE lavAlk+MS			A				
Øresundsbroen	1998 (juli)	nov-10	Pille, over vand		F17 (7090)	SE lavAlk+MS			A				
Øresundsbroen	1997 (nov)	nov-10	Pille, over vand		H23 (7090)	SE lavAlk+MS			A				
Øresundsbroen	1997 (juli)	nov-10	Pille, under vand	-2m	J28 (7090)	SE lavAlk+MS			A				

## Young concrete: Femern trial concrete (28 maturity age, 6 & 24 months)

- A Portland low alkali sulfate resistant cement (CEM I 42,5 N) w/c=0.40.
- B CEM I 42,5 N with 15% fly ash, w/c=0.40.
- C CEM I 42,5 N with 25% fly ash, w/c=0.40.
- D CEM I 42,5 N with 25% fly ash, SCC, w/c=0.40.
- E CEM I 42,5 N with 4% silica fume, w/c=0.40.
- F CEM I 42,5 N with 12% fly ash and 4% silica fume, w/c=0.40.
- G CEM I 42,5 N with 12% fly ash and 4% silica fume, no air entrainment, w/c=0.40.
- H CEM I 42,5 N with 12% fly ash and 4% silica fume, w/c=0.45.
- I CEM I 42,5 N with 12% fly ash and 4% silica fume, w/c=0.35.
- J CEM I 42,5 N with 12% fly ash and 4% silica fume, SCC, w/c=0.40.
- K Traditional slag cement (CEM III/B), w/c=0.40.
- L CEM III/B, no air entrainment, w/c=0.40.
- M CEM III/B, SCC, w/c=0.40.
- N 70 % slag mixed with 30% rapid cement (CEM I 52,5 N) w/c=0.40.
- O CEM I 42,5 N with 4% silica fume with super absorbing polymers, w/c=0.40.

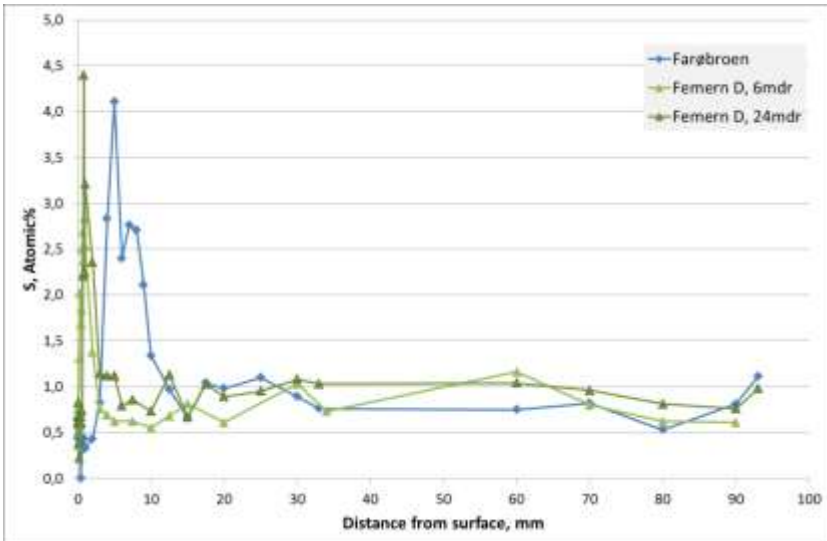
**Basis cement** (CEM II, 52.5 – containing <5% LF and FA)

**Rapid hardening cement** (CEM I 52.5 LA/MS)

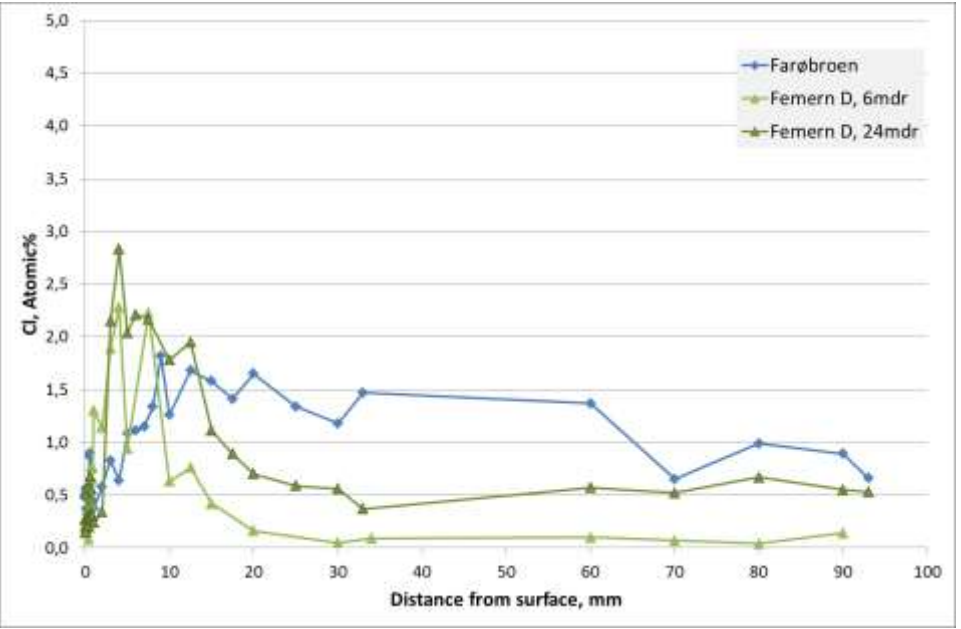
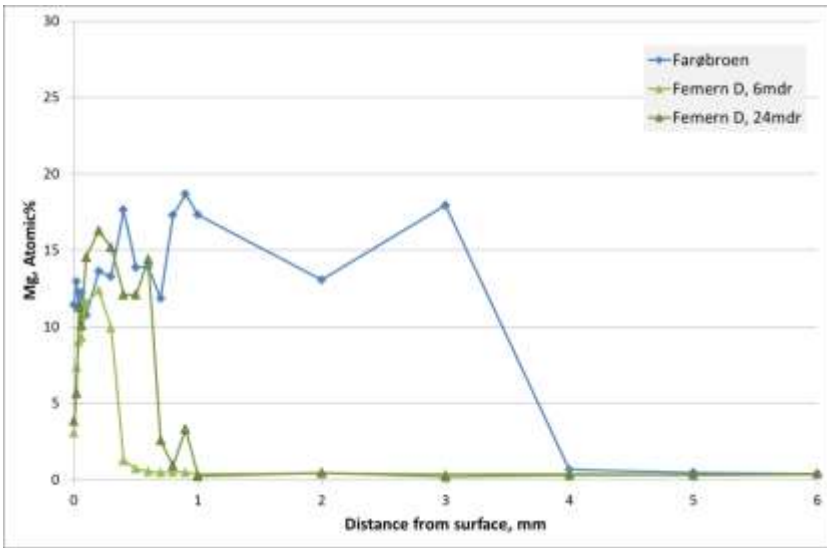
**Rapid hardening cement** (CEM I 52.5 LA/MS) with 30% fly ash

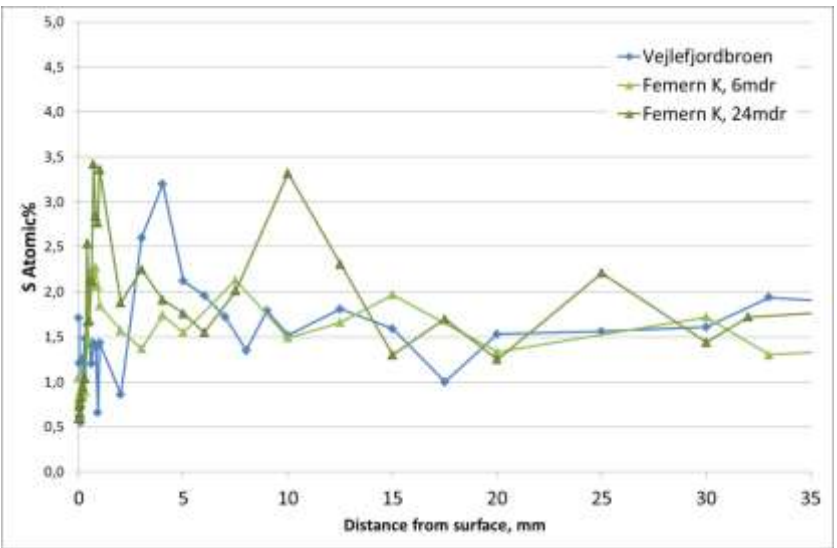
**Rød** – 28 døgn, 6 mdr, 2 år

Sort – kun 28 døgn

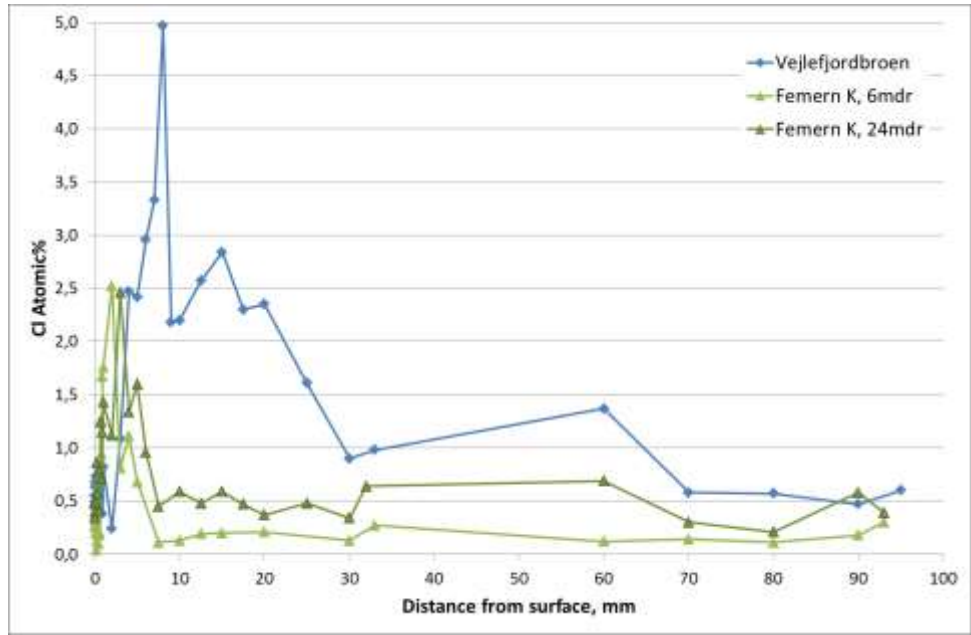
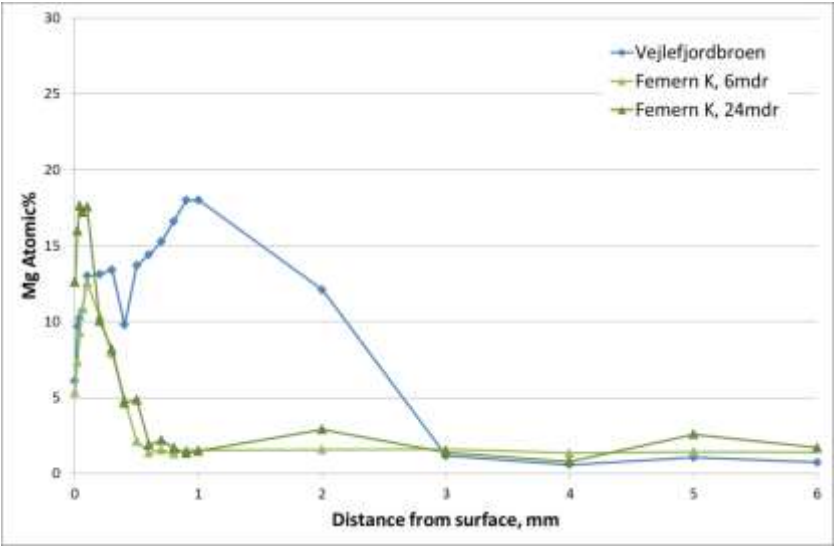


Tidsmæssig variation af S, Mg og Cl





Tidsmæssig variation af S, Mg og Cl





**Farebroen** **Pillar, cote -150, south** **Age: 1980-85**

	<b>Info</b>	<b>LavAik</b>	<b>Comments</b>
	Cement type	X	Core taken in 2012
	Fly ash	-	Cement type: Lavalkal
	Microsilica	-	
	Slag	-	
W/C, apparent	0.40		
Air %	3-4		
		Section No: 7206-F3	

**Micro-observations**

Micro-structural zoning through concrete:

1. Surface is uneven and scaled. A thin calcite crust is occasionally observed, as well a paste damaged by biological growth.
2. 0-3mm: Partially carbonated paste with bands of black paste. Massive ettringite and thaumasite-like phases are observed in air voids. Paste is highly cracked.
3. 3-10mm: Porous, black paste ettringite and thaumasite-like phases in air voids.
4. Internal paste contains a relatively high amount of CH. Observed in air voids too. Many small autogenous cracks in paste.

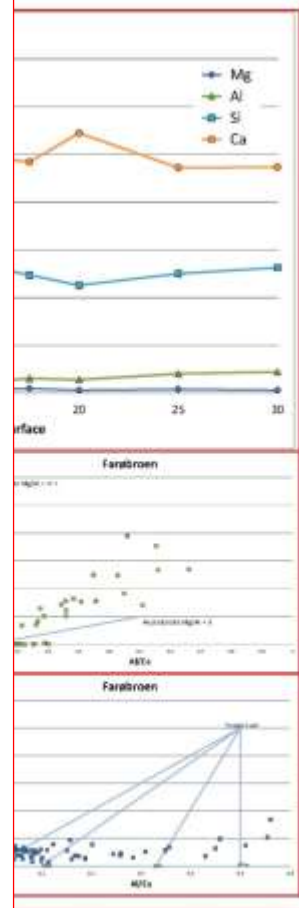
**0, south** **Age: 1980-85**

**enriched zone below Mg-zone**

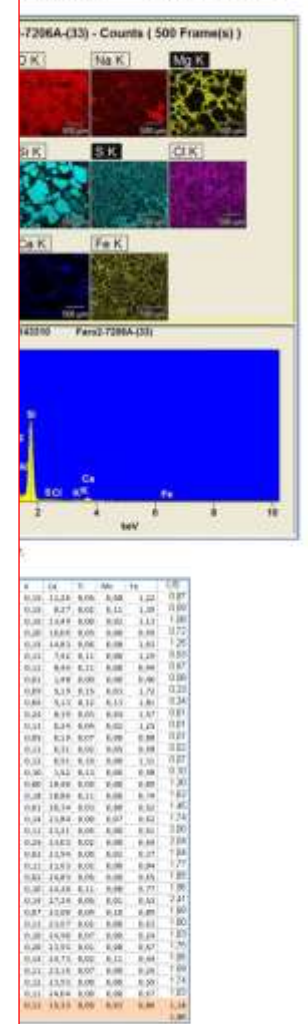
**below calcite zone containing gels in refills**

**or paste, relative high CH content, signs of hydrating**

**0, south** **Age: 1980-85**



**0, south** **Age: 1980-85**



# Mikroskopi og SEM-EDX – dataark 2

